

X CONGRESSO NAZIONALE ECOCARDIOCHIRURGIA 2018

IL COINVOLGIMENTO DEL CUORE NELLE NEOPLASIE PRIMITIVE DI ALTRI ORGANI

Dott. Francesco Petrella, MD, PhD

Divisione di Chirurgia Toracica

Istituto Europeo di Oncologia

Dipartimento di Oncologia ed Emato-oncologia
Università degli Studi di Milano

Milano, 9 -11 Aprile 2018

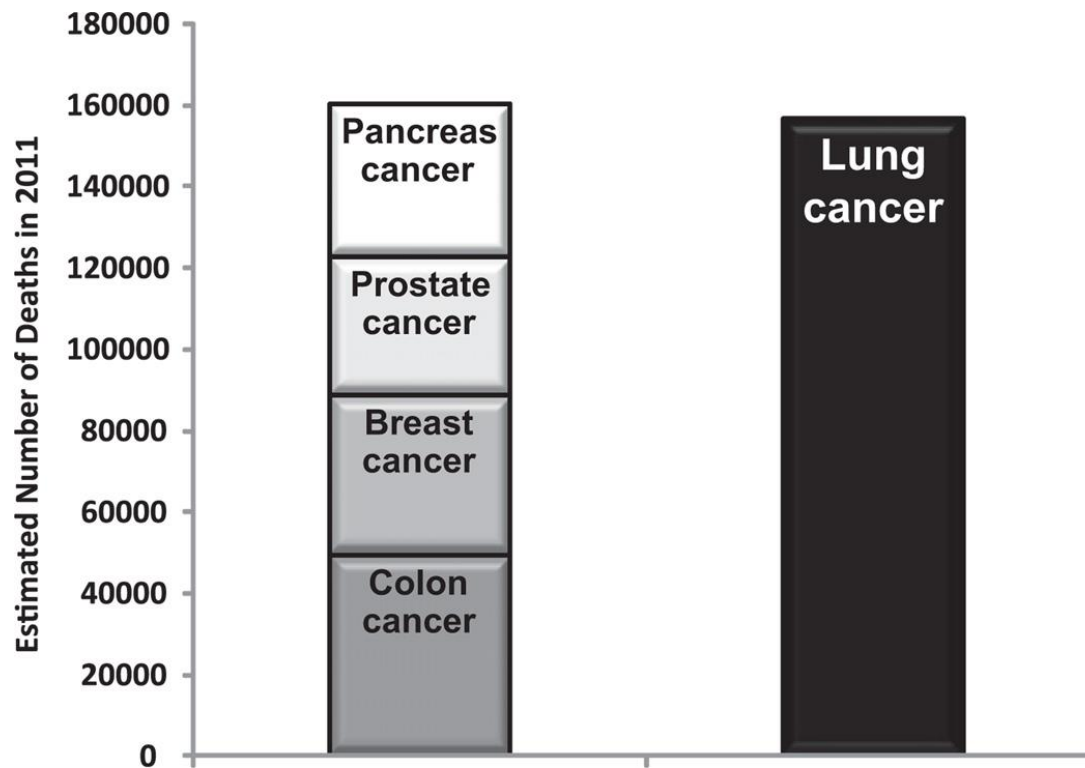


UNIVERSITÀ
DEGLI STUDI
DI MILANO



IEO
Istituto Europeo di Oncologia

MORTALITA' DEL CANCRO DEL POLMONE



UNIVERSITÀ
DEGLI STUDI
DI MILANO



IEO
Istituto Europeo di Oncologia

MORTALITA' DEL CANCRO DEL POLMONE

Estimated New Cases*

| | | | Males | Females | | |
|-----------------------|----------------|-------------|--|-----------------------|----------------|-------------|
| Prostate | 240,890 | 29% |  | Breast | 230,480 | 30% |
| Lung & bronchus | 115,060 | 14% | | Lung & bronchus | 106,070 | 14% |
| Colon & rectum | 71,850 | 9% | | Colon & rectum | 69,360 | 9% |
| Urinary bladder | 52,020 | 6% | | Uterine corpus | 46,470 | 6% |
| Melanoma of the skin | 40,010 | 5% | | Thyroid | 36,550 | 5% |
| Kidney & renal pelvis | 37,120 | 5% | | Non-Hodgkin lymphoma | 30,300 | 4% |
| Non-Hodgkin lymphoma | 36,060 | 4% | | Melanoma of the skin | 30,220 | 4% |
| Oral cavity & pharynx | 27,710 | 3% | | Kidney & renal pelvis | 23,800 | 3% |
| Leukemia | 25,320 | 3% | | Ovary | 21,990 | 3% |
| Pancreas | 22,050 | 3% | | Pancreas | 21,980 | 3% |
| All Sites | 822,300 | 100% |  | All Sites | 774,370 | 100% |

Estimated Deaths

| | | | Males | Females | | |
|-------------------------------|----------------|-------------|---|-------------------------------|----------------|-------------|
| Lung & bronchus | 85,600 | 28% |  | Lung & bronchus | 71,340 | 26% |
| Prostate | 33,720 | 11% | | Breast | 39,520 | 15% |
| Colon & rectum | 25,250 | 8% | | Colon & rectum | 24,130 | 9% |
| Pancreas | 19,360 | 6% | | Pancreas | 18,300 | 7% |
| Live & intrahepatic bile duct | 13,260 | 4% | | Ovary | 15,460 | 6% |
| Leukemia | 13,740 | 4% | | Non-Hodgkin lymphoma | 9,570 | 4% |
| Esophagus | 11,910 | 4% | | Leukemia | 9,040 | 3% |
| Urinary bladder | 10,670 | 4% | | Uterine Corpus | 8,120 | 3% |
| Non-Hodgkin lymphoma | 9,750 | 3% | | Live & intrahepatic bile duct | 6,330 | 2% |
| Kidney & renal pelvis | 8,270 | 3% | | Brain & other nervous system | 5,670 | 2% |
| All Sites | 300,430 | 100% |  | All Sites | 271,520 | 100% |

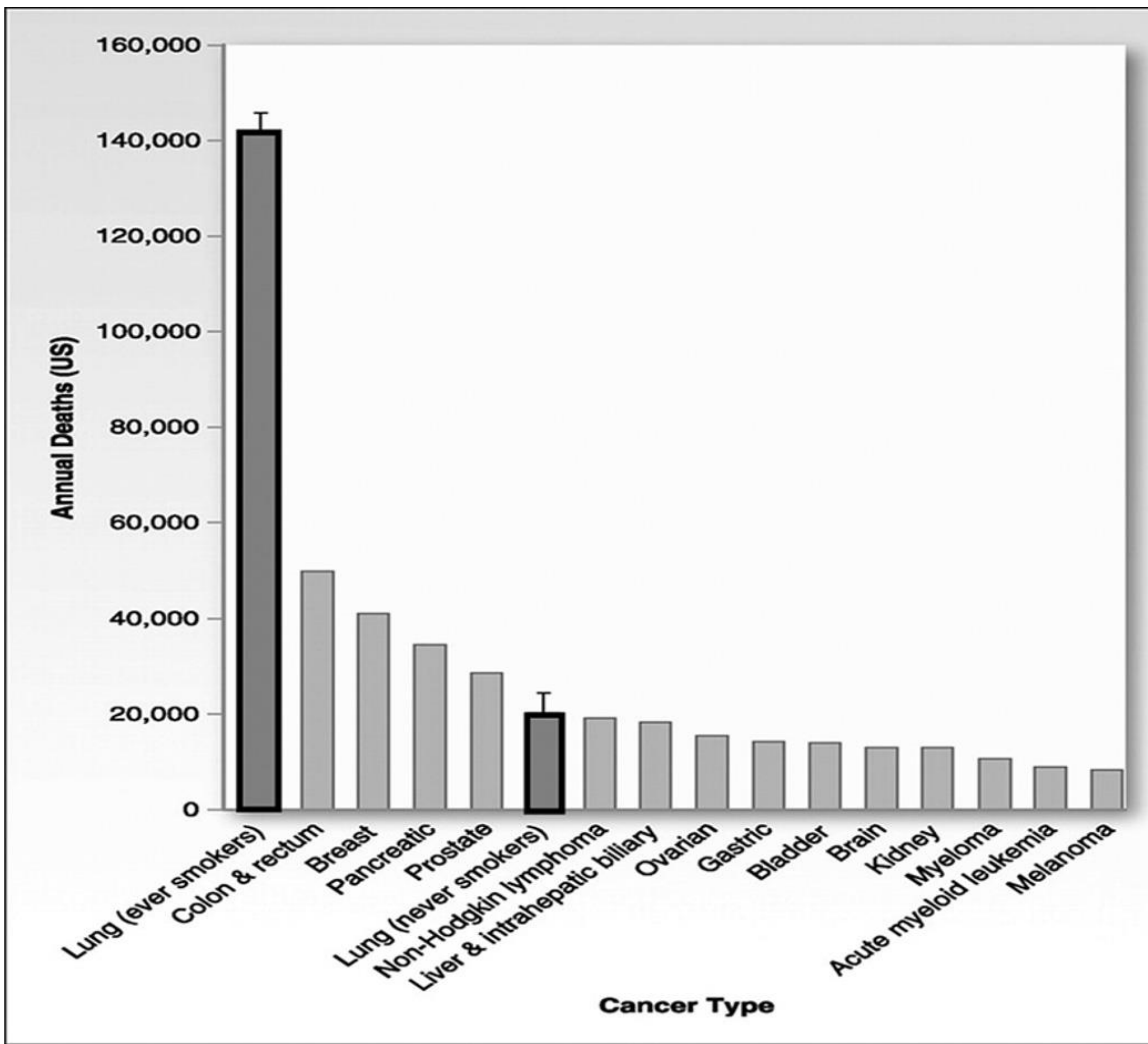


UNIVERSITÀ
DEGLI STUDI
DI MILANO

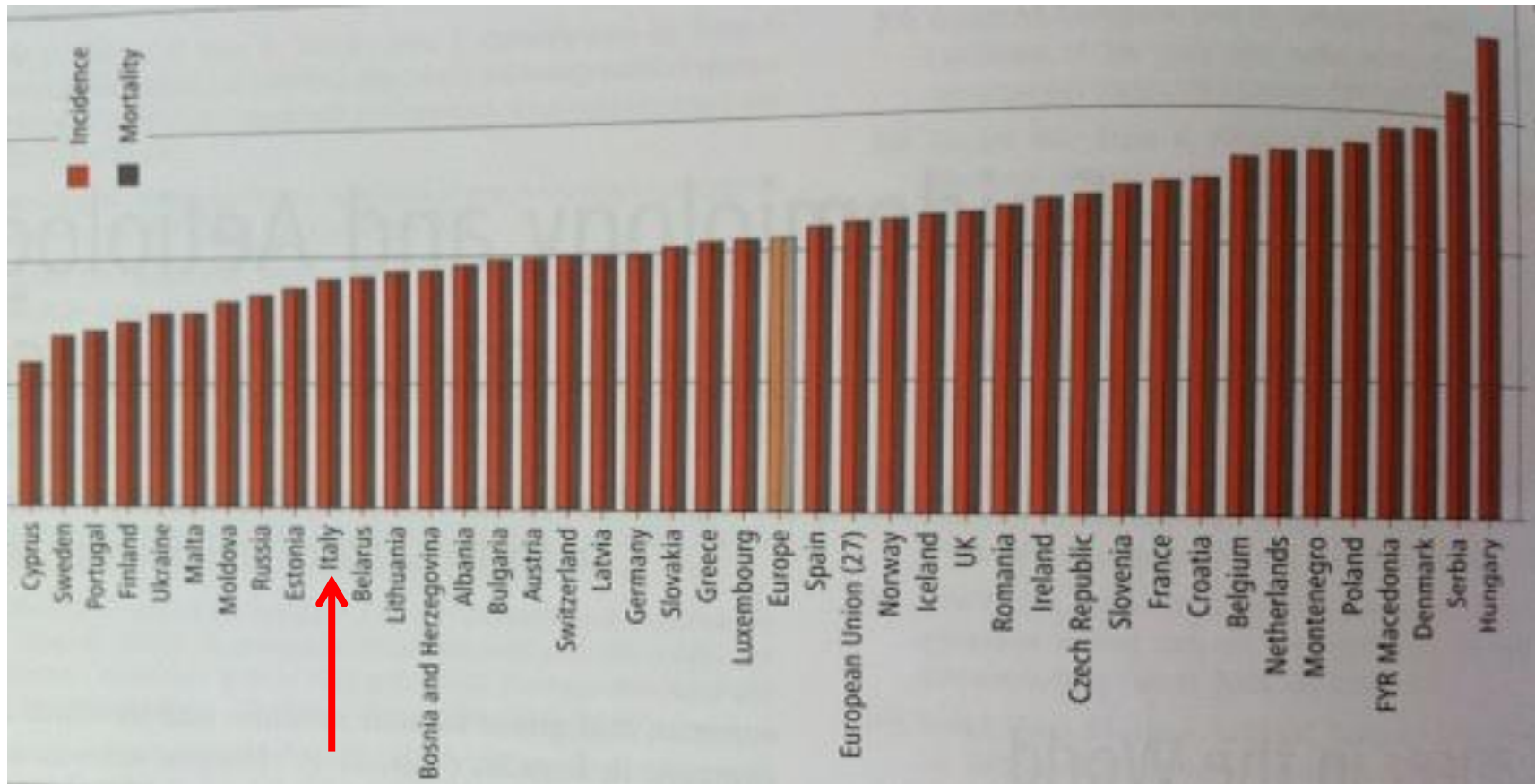


IEO
Istituto Europeo di Oncologia

MORTALITA' DEL CANCRO DEL POLMONE



MORTALITA' DEL CANCRO DEL POLMONE



STADIAZIONE DEL TUMORE DEL POLMONE, TNM VIII EDIZIONE

| T (Tumore primitivo) | |
|---------------------------------|---|
| T0 | Assenza di tumore primitivo |
| – Tis | Carcinoma in situ (squamoso o adenocarcinoma) |
| T1 | Tumore ≤ 3 cm |
| – T1a(mi) | Adenocarcinoma minimamente invasivo |
| – T1a | Tumore superficiale confinato alla parete della trachea o dei bronchi |
| – T1a | Tumore ≤ 1 cm |
| – T1b | Tumore > 1 ma ≤ 2 cm |
| – T1c | Tumore > 2 ma ≤ 3 cm |
| T2 | Tumore > 3 ma ≤ 5 cm o interessante la pleura viscerale o un bronco principale (ma non la carena) o associato ad atelettasia che si estende alla regione ilare. |
| – T2a | Tumore > 3 ma ≤ 4 cm |
| – T2b | Tumore > 4 ma ≤ 5 cm |
| T3 | Tumore > 5 ma ≤ 7 cm o interessante la parete toracica, il pericardio, il nervo frenico o caratterizzato dalla presenza di nodulo/i nello stesso lobo. |
| T4 | Tumore > 7 cm o interessante il mediastino, il diaframma, <u>il cuore, i grandi vasi, il nervo laringeo ricorrente, la carena, la trachea, l'esofago, la colonna vertebrale oppure caratterizzato dalla presenza di nodulo/i in un lobo differente omolaterale.</u> |
| N (Linfonodi Regionali) | |
| N0 | Assenza di metastasi ai linfonodi regionali |
| N1 | Metastasi ai linfonodi polmonari omolaterali o ilari |
| N2 | Metastasi ai linfonodi mediastinici o sottocarenali omolaterali |
| N3 | Metastasi ai linfonodi mediastinici od ilari controlaterali o ai linfonodi sovraclaveari. |
| M (Metastasi a distanza) | |
| M0 | Assenza di metastasi a distanza |
| M1a | Versamento pleurico o pericardico maligno o noduli pleurici o pericardici Noduli polmonari in un lobo controlaterale |
| M1b | Singola metastasi extratoracica |
| M1c | Multiple metastasi extratoraciche (≥ 1 organo) |



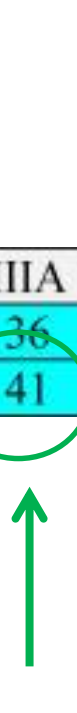
STADIAZIONE DEL TUMORE DEL POLMONE, TNM VIII EDIZIONE

| T/M | Label | N0 | N1 | N2 | N3 |
|-----|--------------------------|------|------|------|------|
| T1 | T1a ≤ 1 | IA1 | IIB | IIIA | IIIB |
| | T1b $>1-2$ | IA2 | IIB | IIIA | IIIB |
| | T1c $>2-3$ | IA3 | IIB | IIIA | IIIB |
| T2 | T2a <i>Cent, Yisc Pl</i> | IB | IIB | IIIA | IIIB |
| | T2a $>3-4$ | IB | IIB | IIIA | IIIB |
| | T2b $>4-5$ | IIA | IIB | IIIA | IIIB |
| T3 | T3 $>5-7$ | IIB | IIIA | IIIB | IIIC |
| | T3 <i>Inv</i> | IIB | IIIA | IIIB | IIIC |
| | T3 <i>Satell</i> | IIB | IIIA | IIIB | IIIC |
| T4 | T4 >7 | IIIA | IIIA | IIIB | IIIC |
| | T4 <i>Inv</i> | IIIA | IIIA | IIIB | IIIC |
| | T4 <i>Ipsi Nod</i> | IIIA | IIIA | IIIB | IIIC |
| M1 | M1a <i>Contr Nod</i> | IVA | IVA | IVA | IVA |
| | M1a <i>PI Dissem</i> | IVA | IVA | IVA | IVA |
| | M1b <i>Single</i> | IVA | IVA | IVA | IVA |
| | M1c <i>Multi</i> | IVB | IVB | IVB | IVB |



SOPRAVVIVENZA DEL TUMORE DEL POLMONE, TNM VIII EDIZIONE

| Type | IA1 | IA2 | IA3 | IB | IIA | IIB | IIIA | IIIB | IIIC | IVA | IVB |
|------------|-----|-----|-----|----|-----|-----|------|------|------|-----|-----|
| Clinical | 92 | 83 | 77 | 68 | 60 | 53 | 36 | 26 | 13 | 10 | 0 |
| Pathologic | 90 | 85 | 80 | 73 | 65 | 56 | 41 | 24 | 12 | - | - |



UNIVERSITÀ
DEGLI STUDI
DI MILANO



IEO
Istituto Europeo di Oncologia

CANCRO DEL POLMONE T4

Table 1
Selected summary of extended resections of T4 NSCLC

| Reference | T4 Sites of Disease | Patients | Morbidity (%) | Mortality (%) | Overall Survival (% at 5 y) |
|-------------------------------------|---|----------|---------------|---------------|-----------------------------|
| Burt et al, ⁶ 1987 | Aorta, pulmonary artery, esophagus | 225 | NR | 2.7 | 9 |
| Tsuchiya et al, ⁷ 1994 | Aorta, left atrium, pulmonary artery, SVC | 101 | NR | NR | 13 |
| Martini et al, ⁸ 1994 | Aorta, left atrium, pulmonary artery, SVC, esophagus, trachea, spine | 102 | NR | 6 | 19 |
| Bernard et al, ⁹ 2001 | Aorta, left atrium, pulmonary artery, SVC, esophagus, carina, spine | 77 | NR | NR | 21 ^a |
| Pitz et al, ¹⁰ 2003 | Aorta, left atrium, pulmonary artery, SVC, esophagus, trachea, carina, spine | 89 | NR | 19 | 19 |
| Ratto et al, ¹¹ 2004 | Left atrium | 19 | 37 | 0 | 14 |
| Ohta et al, ¹² 2005 | Aorta | 16 | 31 | 12.5 | 48 |
| Yildizeli et al, ¹³ 2008 | Aorta, left atrium, pulmonary artery, SVC, esophagus, carina, spine, subclavian artery/vein, carotid artery, chest wall | 271 | 35 | 4 | 38 |
| Wu et al, ¹⁴ 2009 | Left atrium | 46 | 52 | 0 | 22 |
| Yang et al, ¹⁵ 2009 | Aorta, left atrium, pulmonary artery, SVC, esophagus, trachea, carina, spine | 146 | 53 | 3.1 | 23 |
| Spaggiari et al, ¹⁶ 2013 | Aorta, left atrium, SVC, carina | 167 | 34 | 5 | 23 |
| Galvaing et al, ¹⁷ 2014 | Left atrium | 19 | 53 | 11 | 44 |



INFILTRAZIONE DELL' ATRIO SINISTRO

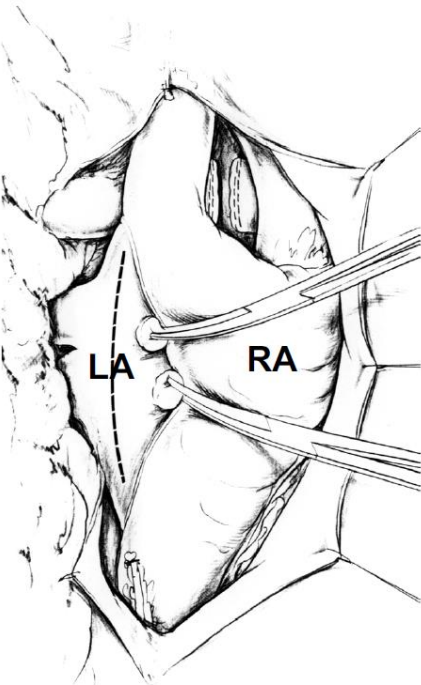


Fig 2. The Sondergaard technique, in which the dissection of the interatrial groove during right pneumonectomy permits elongation of the left atrial cuff to about 2 cm. The dashed line represents the incision on the LA. (LA = left atrium; RA = right atrium.)



Fig 3. After dissection of the interatrial groove, and before resection, the left atrial wall is clamped with a large Satinsky clamp. This allows the identification of any cardiac alterations.



Fig 4. The resection and subsequent atrial reconstruction with double running sutures of 2-0 polypropylene are in progress.

(Ann Thorac Surg 2005;79:234–40)
© 2005 by The Society of Thoracic Surgeons

Extended Pneumonectomy With Partial Resection of the Left Atrium, Without Cardiopulmonary Bypass, for Lung Cancer

Lorenzo Spaggiari, MD, PhD, Massimiliano D' Aiuto, MD, Giulia Veronesi, MD, Giuseppe Pelosi, MD, Tommaso de Pas, MD, Gianpiero Catalano, MD, and Filippo de Braud, MD

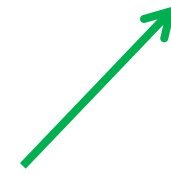
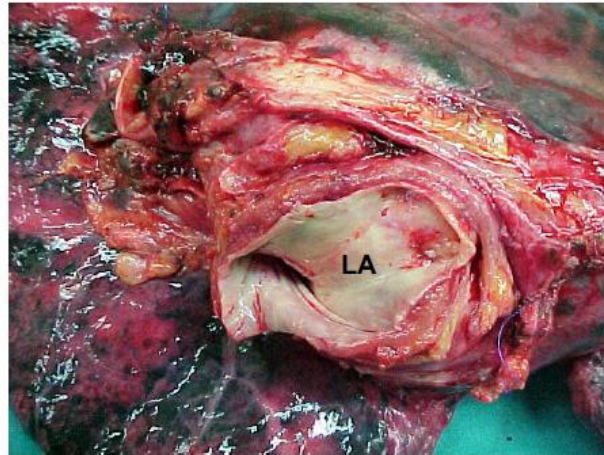
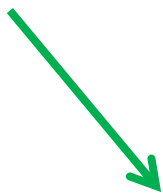
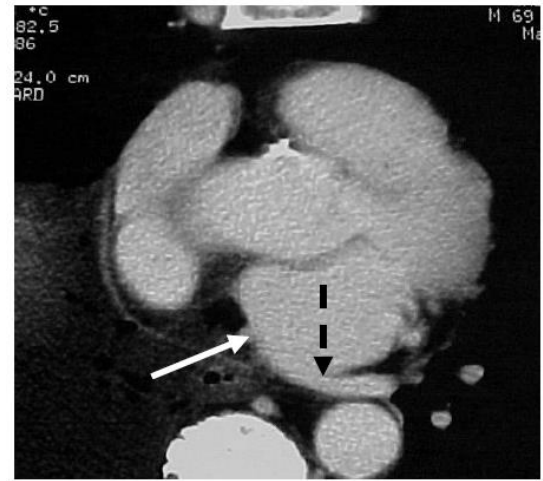
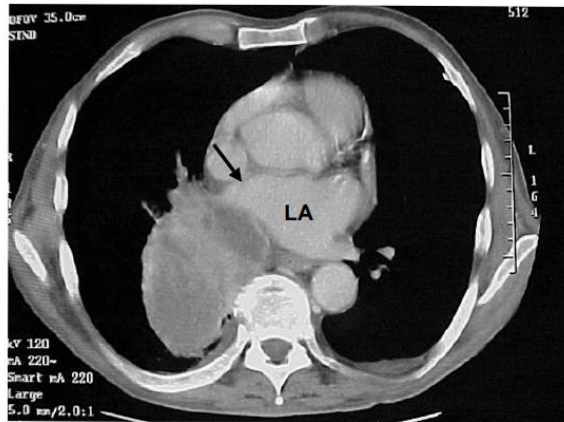


UNIVERSITÀ
DEGLI STUDI
DI MILANO



IEO
Istituto Europeo di Oncologia

INFILTRAZIONE DELL' ATRIO SINISTRO



UNIVERSITÀ
DEGLI STUDI
DI MILANO



IEO
Istituto Europeo di Oncologia

INFILTRAZIONE DELL' ATRIO SINISTRO

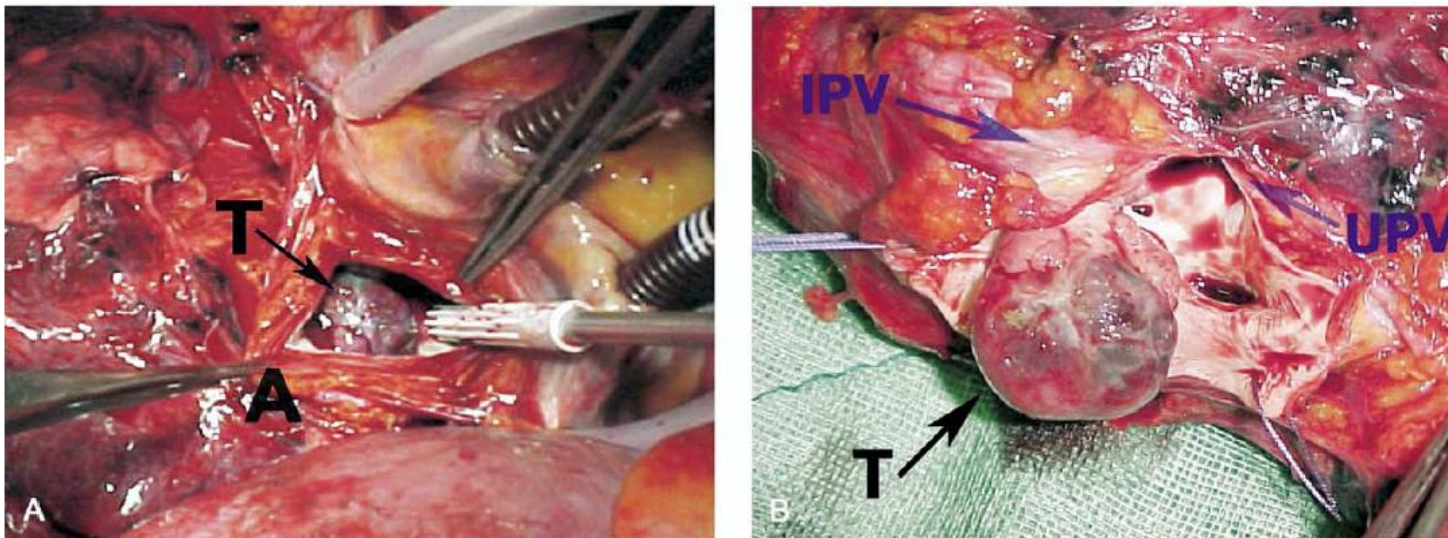


Figure 1. A, Operative view showing the intracardiac polypoid tumor (*T*) growth resected in extracorporeal circulation without cardiac arrest. A, Right atrium. B, Macroscopic view of the resected specimen illustrating the intra-atrial mass (*T*) originating from the inferior pulmonary vein (*IPV*). *UPV*, Upper pulmonary vein.

Extended right pneumonectomy with partial left atrial resection for primary leiomyosarcoma of the mediastinum

Massimiliano D'Aiuto, MD,^a Giulia Veronesi, MD,^a Giulio Pompilio, MD,^b Roberto Gasparri, MD,^a Fabio Presicci, MD,^a Domenico Galetta, MD,^a Paolo Biglioli, MD,^b and Lorenzo Spaggiari, MD, PhD,^a Milan, Italy

The Journal of Thoracic and Cardiovascular Surgery • March 2005

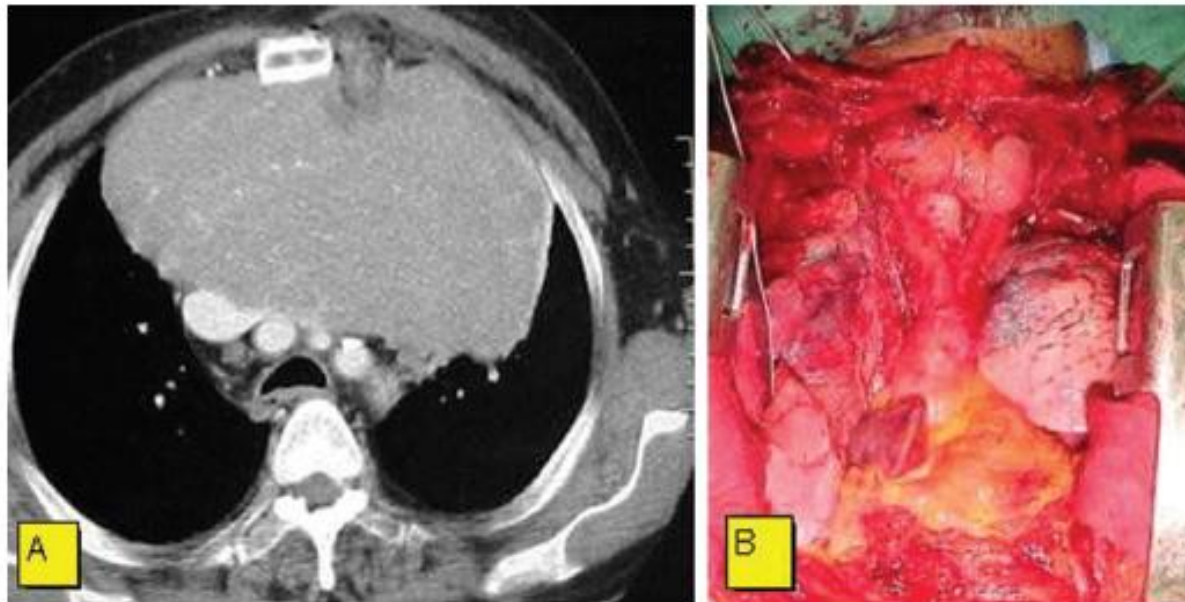


UNIVERSITÀ
DEGLI STUDI
DI MILANO



IEO
Istituto Europeo di Oncologia

INFILTRAZIONE DEL MEDIASTINO



"Salvage" Surgery for Primary Mediastinal Malignancies Is it Worthwhile?

Francesco Petrella, MD,* Francesco Leo, MD, PhD,* Giulia Veronesi, MD,*
Piergiorgio Solli, MD, PhD,* Alessandro Borri, MD,* Domenico Galetta, MD,*
Roberto Gasparri, MD,* Rosalba Lembo, PhD,† Davide Radice, PhD,‡ Paolo Scanagatta, MD,*
and Lorenzo Spaggiari, MD, PhD*§

Journal of Thoracic Oncology • Volume 3, Number 1, January 2008

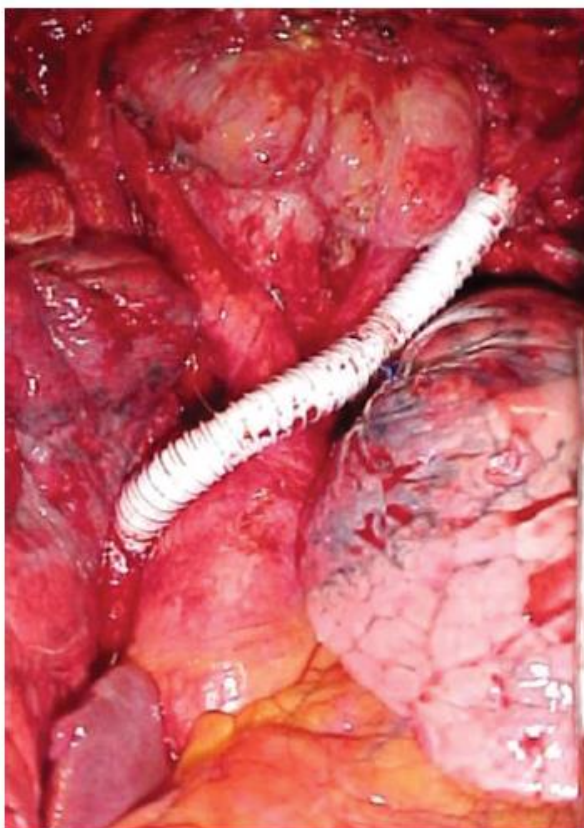


UNIVERSITÀ
DEGLI STUDI
DI MILANO



IEO
Istituto Europeo di Oncologia

INFILTRAZIONE DEL MEDIASTINO



"Salvage" Surgery for Primary Mediastinal Malignancies
Is it Worthwhile?

Francesco Petrella, MD,* Francesco Leo, MD, PhD,* Giulia Veronesi, MD,*
Piergiorgio Solli, MD, PhD,* Alessandro Borri, MD,* Domenico Galetta, MD,*
Roberto Gasparri, MD,* Rosalba Lembo, PhD,† Davide Radice, PhD,‡ Paolo Scanagatta, MD,*
and Lorenzo Spaggiari, MD, PhD*§

Journal of Thoracic Oncology • Volume 3, Number 1, January 2008



UNIVERSITÀ
DEGLI STUDI
DI MILANO



IEO
Istituto Europeo di Oncologia

INFILTRAZIONE DEL MEDIASTINO

Petrella et al.

Journal of Thoracic Oncology • Volume 3, Number 1, January 2008

TABLE 1. Clinicopathologic and Surgical Features of Patients

| Case No. | Age/Sex | Diagnosis | Previous Treatment | Surgery | CPB | Approach |
|----------|---------|--|---|---|-----|----------------------------------|
| 1 | 38/M | Lung adenocarcinoma + SVC infiltration + thymoma | CT | Right upper lobectomy + resection of thymoma + SVC reconstruction | No | Sternotomy + TMA + cervicotomy |
| 2 | 21/F | Mediastinal monophasic sinovial sarcoma | Nonradical surgery + CT | Right pneumonectomy | No | Right hemiclamshell |
| 3 | 32/F | Malignant thymoma | RT | Left pleuropneumonectomy + resection of thymoma | No | Left hemiclamshell |
| 4 | 29/M | Malignant thymoma | CT | Resection of thymoma (+pericardiectomy + left phrenic nerve resection + left upper lobe wedge resection) | No | Sternotomy |
| 5 | 24/M | Malignant thymoma | Nonradical surgery + CT | Completion resection of thymoma + right pleurectomy + right lung bimetastasectomy | No | Right hemiclamshell |
| 6 | 29/F | Mediastinal monophasic sinovial sarcoma | Nonradical surgery + CT | Tumor resection + left upper lobectomy + phrenic and recurrent nerves resection + left brachiocephalic vein reconstruction | No | Left hemiclamshell |
| 7 | 61/F | Thymic carcinoma | RT | Thymectomy + left common carotid resection/reconstruction + left hemithyroidectomy + left jugular vein resection | No | TMA |
| 8 | 13/F | Mediastinal mesenchymal neuroendocrine tumor | CT | Explorative Thoracotomy (complete cardiac infiltration) | No | Left hemiclamshell |
| 9 | 44/M | Thymic carcinoid | CT | Thymectomy + pericardiectomy + phrenic nerve resection | No | Sternotomy |
| 10 | 30/M | Mediastinal teratoblastoma | CT | Tumour resection + right upper lobe wedge resection + pericardiectomy + left and right brachiocephalic veins resection/reconstruction | No | Clamshell |
| 11 | 55/M | Malignant thymoma | CT | Thymectomy + SVC resection/reconstruction | No | Sternotomy |
| 12 | 41/M | Disgerminoma | CT | Tumour resection + middle lobe and left upper lobe wedge resection, pericardial and right phrenic nerve resection | No | Sternotomy |
| 13 | 45/M | Malignant thymoma | CT | Resection of thymoma + SVC resection and reconstruction | No | Sternotomy |
| 14 | 38/M | Malignant thymoma | RT | Resection of thymoma | No | Left hemiclamshell |
| 15 | 47/M | Hodgkin's lymphoma | CT | Tumor resection | No | Sternotomy |
| 16 | 73/M | Mediastinal atypical carcinoid | CT | Tumor resection | No | TMA + sternotomy |
| 17 | 47/M | Thymic carcinoma | CT | Tumor resection + left upper lobe resection + left brachiocephalic vein resection/reconstruction | No | Left hemiclamshell |
| 18 | 54/M | Medullary thyroid carcinoma | CT + radio metabolic therapy | Explorative cervico sternotomy | No | Cervicosternotomy + manubriotomy |
| 19 | 27/M | Malignant thymoma | CT | Resection of thymoma + left pleuropneumonectomy + left brachiocephalic vein resection/reconstruction | No | Left hemiclamshell |
| 20 | 54/M | Medullary thyroid carcinoma | Radiometabolic therapy + nonradical surgery | Thymectomy + brachiocephalic artery reconstruction + omentoplasty | No | Cervicosternotomy |
| 21 | 50/F | Malignant thymoma | CT | Resection of thymoma + SVC resection and reconstruction + right atrium resection | Yes | TMA + sternotomy |

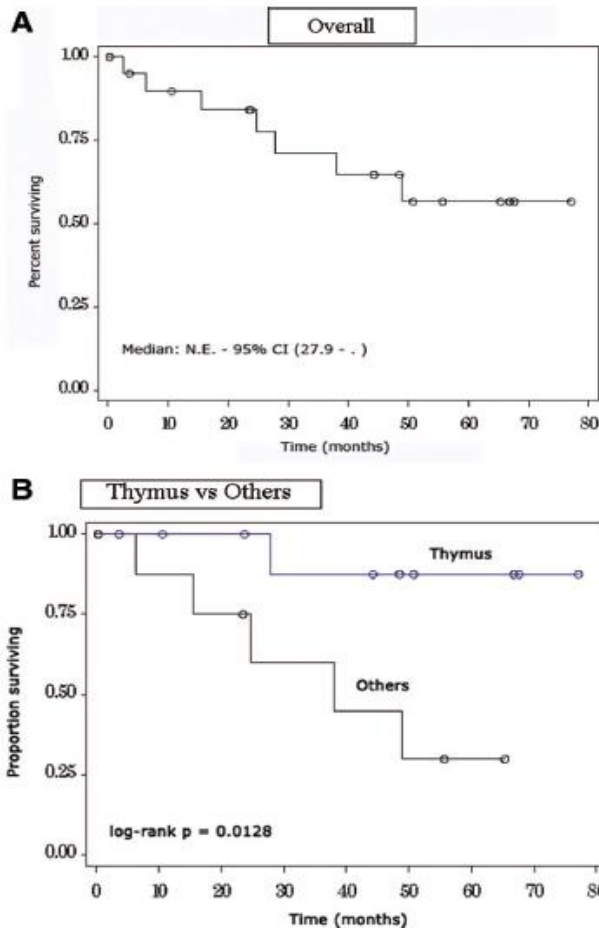


UNIVERSITÀ
DEGLI STUDI
DI MILANO



IEO
Istituto Europeo di Oncologia

INFILTRAZIONE DEL MEDIASTINO



Journal of Thoracic Oncology • Volume 3, Number 1, January 2008



UNIVERSITÀ
DEGLI STUDI
DI MILANO

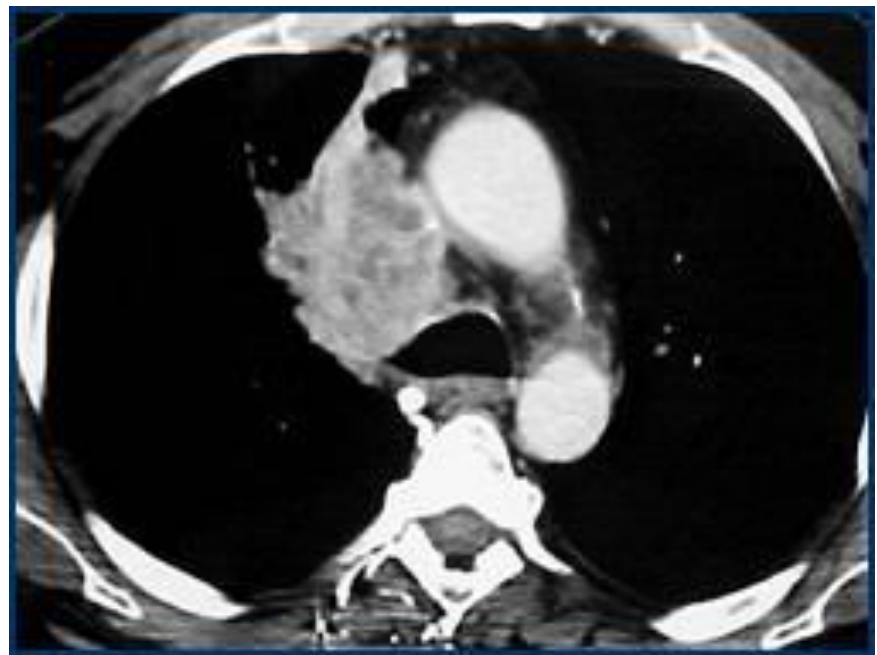
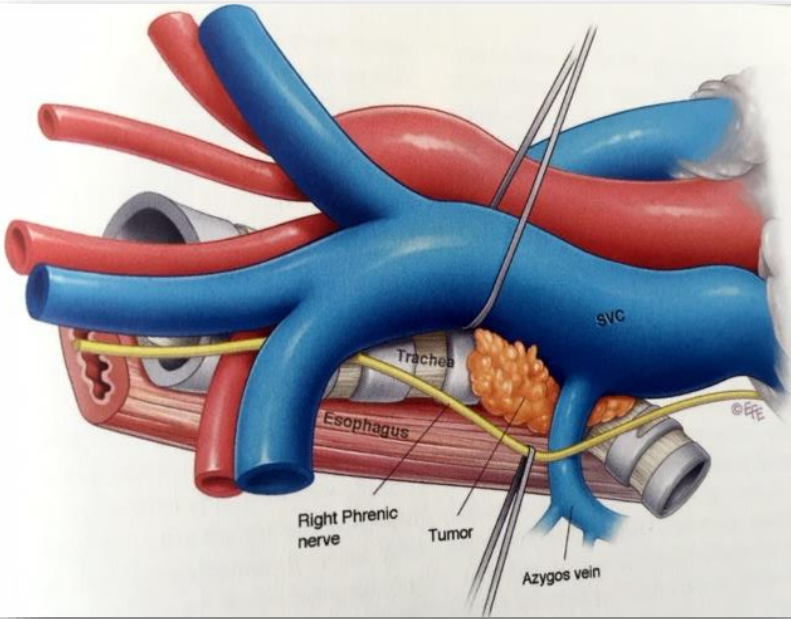
"Salvage" Surgery for Primary Mediastinal Malignancies
Is it Worthwhile?

Francesco Petrella, MD,* Francesco Leo, MD, PhD,* Giulia Veronesi, MD,*
Piergiorgio Solli, MD, PhD,* Alessandro Borri, MD,* Domenico Galetta, MD,*
Roberto Gasparri, MD,* Rosalba Lembo, PhD,† Davide Radice, PhD,‡ Paolo Scanagatta, MD,*
and Lorenzo Spaggiari, MD, PhD*§



IEO
Istituto Europeo di Oncologia

INFILTRAZIONE DELLA VENA CAVA SUPERIORE



UNIVERSITÀ
DEGLI STUDI
DI MILANO

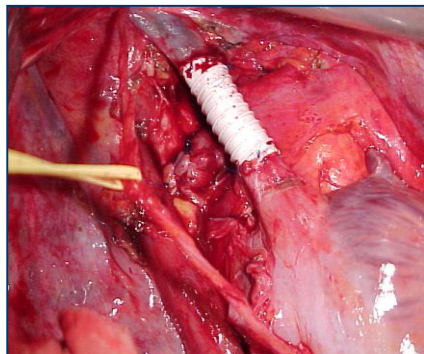


IEO
Istituto Europeo di Oncologia

INFILTRAZIONE DELLA VENA CAVA SUPERIORE

Resezione completa

28 % (n=17)



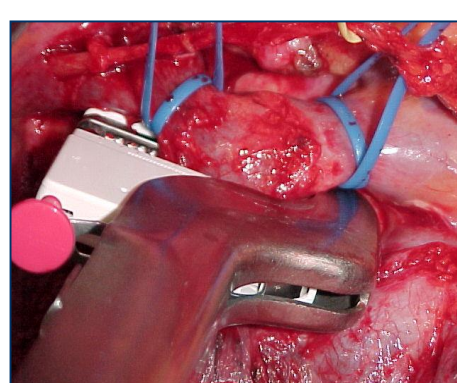
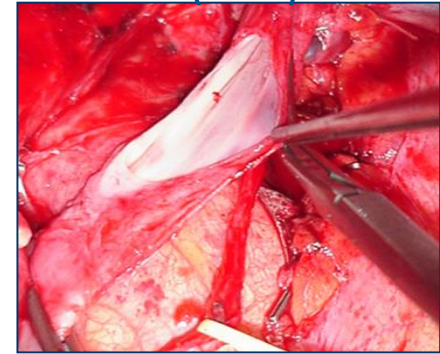
Resezione parziale

63% (n=38)



Patch

9% (n=6)



UNIVERSITÀ
DEGLI STUDI
DI MILANO



IEO
Istituto Europeo di Oncologia

INFILTRAZIONE DELLA VENA CAVA SUPERIORE

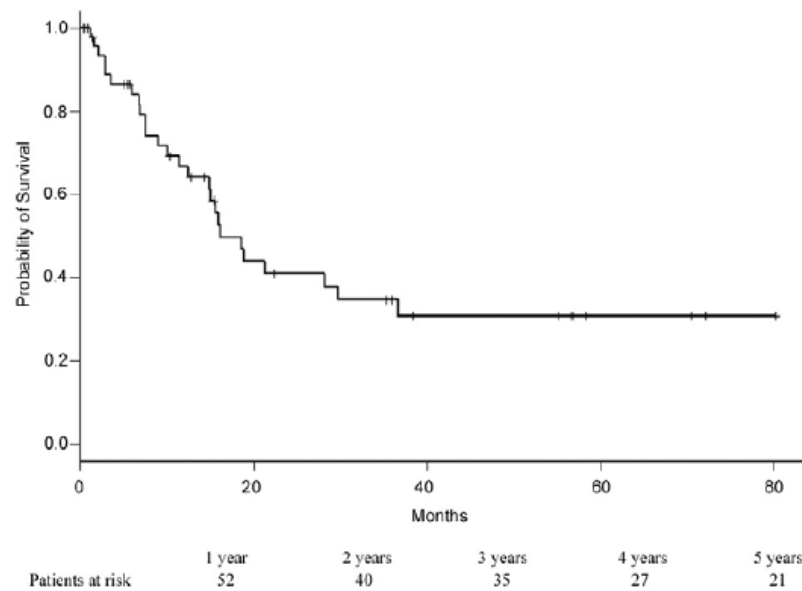


Fig 6. Survival curve (Kaplan-Meier method) of patients who underwent resection of the superior vena cava for nonsmall-cell lung cancer. The probability of survival at 5 years was 31%; the number of surviving patients at risk at 60 months was 21. Median survival was 16.2 months (95% confidence interval: 12.6 to 36.7).

Superior Vena Cava Resection for Lung and Mediastinal Malignancies: A Single-Center Experience With 70 Cases

Lorenzo Spaggiari, MD, PhD, Francesco Leo, MD, PhD, Giulia Veronesi, MD, Piergiorgio Solli, MD, Domenico Galetta, MD, Brunilda Tatani, MD, Francesco Petrella, MD, and Davide Radice, PhD

Divisions of Thoracic Surgery and Epidemiology and Biostatistics, European Institute of Oncology, and University of Milan School of Medicine, Milan, Italy



UNIVERSITÀ
DEGLI STUDI
DI MILANO



IEO
Istituto Europeo di Oncologia

INFILTRAZIONE DELL' AORTA

Surgical intervention for T4 lung cancer with infiltration of the thoracic aorta: Are we back to the archetype of surgical thinking?

Walter Klepetko, MD

From the Medical University of Vienna,
Department of Cardiothoracic Surgery,
Vienna, Austria.

Received for publication Aug 24, 2004; accepted for publication Aug 27, 2004.

Address for reprints: Walter Klepetko, MD, Professor of Special Thoracic Surgery, Medical University of Vienna, Department of Cardiothoracic Surgery, Waehringer Guertel 18-20, A-1090 Vienna, Austria (E-mail: walter.klepetko@meduniwien.ac.at).

J Thorac Cardiovasc Surg 2005;129:727-9
0022-5223/\$30.00

Copyright © 2005 by The American Association for Thoracic Surgery
doi:10.1016/j.jtcvs.2004.08.046

The Journal of Thoracic and Cardiovascular Surgery • Volume 129, Number 4

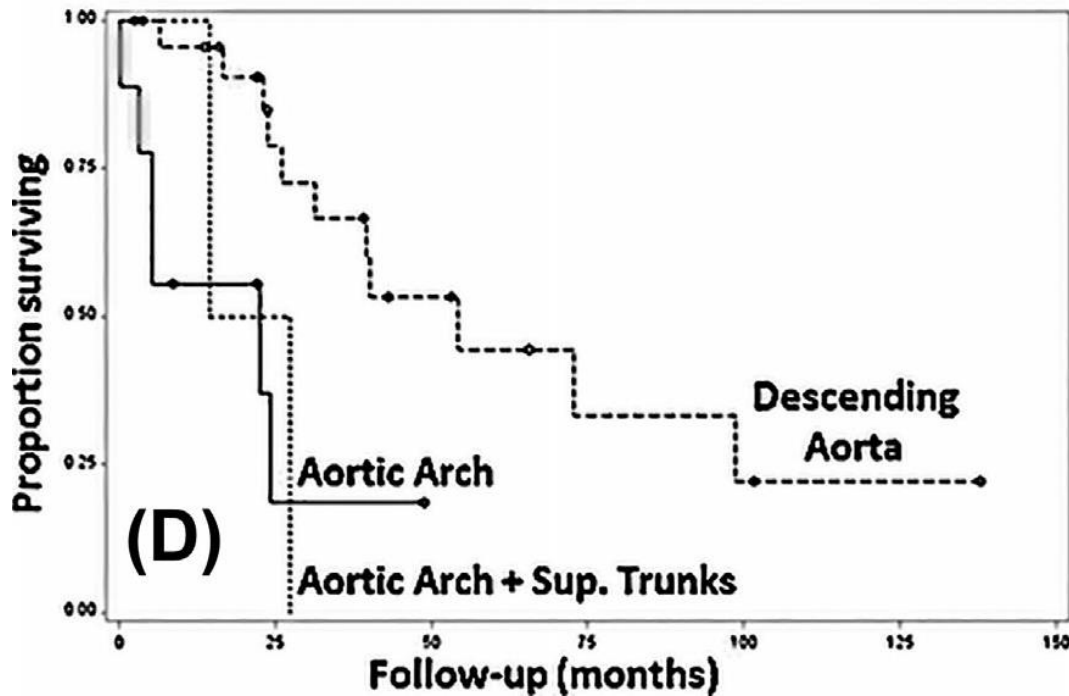


UNIVERSITÀ
DEGLI STUDI
DI MILANO



IEO
Istituto Europeo di Oncologia

INFILTRAZIONE DELL' AORTA



RESEARCH ARTICLE

WILEY

Surgery for T4 lung cancer invading the thoracic aorta: Do we push the limits?

Giuseppe Marulli MD, PhD¹ | Erino A. Rendina MD^{2,3,4} |
Walter Klepetko MD⁵ | Reinhold Perkmann MD⁶ | Davide Zampieri MD¹ |
Giulio Maurizi MD^{2,3,4} | Thomas Klikovits MD⁵ | Francesco Zaraca MD⁶ |
Federico Venuta MD^{2,3,4} | Egle Perissinotto SD¹ | Federico Rea MD¹



UNIVERSITÀ
DEGLI STUDI
DI MILANO



IEO
Istituto Europeo di Oncologia

LA CIRCOLAZIONE EXTRA CORPOREA NEL PAZIENTE NEOPLASTICO

1961: Woods et al. realizzano la prima resezione tracheale in circolazione extracorporea per un cilindroma, per garantire l'ematosi durante l'apertura della via aerea.

1966: Toty et al. realizzano una resezione di un tumore benigno ilare in circolazione extracorporea

1971: Bailey et al. pubblicano i loro primi due casi di resezione polmonare con estensione mediastinica in circolazione extracorporea



LA CIRCOLAZIONE EXTRA CORPOREA NEL PAZIENTE NEOPLASTICO

La riduzione dell'immunità cellulo-mediata dopo CEC – che di solito scompare dopo le prime 24 ore – è responsabile di un'aumentata incidenza di infezioni opportunistiche.

Tuttavia, una relazione causale fra la CEC in pazienti oncologici ed il successivo riscontro di incrementata recidiva di malattia neoplastica non è mai stata comprovata.



UNIVERSITÀ
DEGLI STUDI
DI MILANO



IEO
Istituto Europeo di Oncologia

LA CIRCOLAZIONE EXTRA CORPOREA NEL PAZIENTE NEOPLASTICO

Nel 1995 Brutel de la Riviere et al. osservano una sopravvivenza a 5 anni ridotta in pazienti che avevano ricevuto una chirurgica cardiaca in CEC prima dell' exeresi polmonare in una serie di 79 pazienti sottoposti ad intervento sincrono cardiaco e polmonare.

Gli Autori riconducono questa osservazione all'uso della CEC, in quanto favorente un incremento delle cellule tumorali circolanti; tuttavia i loro risultati non raggiungevano una significatività statistica per il ridotto numero di pazienti trattati.

Ad un'analisi delle cause di morte in tale gruppo di pazienti, le cause cardiovascolari erano più frequenti di quelle legate alla progressione della malattia oncologica di base.



UNIVERSITÀ
DEGLI STUDI
DI MILANO



IEO
Istituto Europeo di Oncologia

LA CIRCOLAZIONE EXTRA CORPOREA NEL PAZIENTE NEOPLASTICO

1983: Kirklin identifica i fattori di rischio per la post - CBP RDS (Respiratory distress syndrome): età > 70 anni, durata della CEC, temperatura del paziente e tipo di soluzione priming.

Questa sindrome è causata dall'infiammazione e della emodiluizione indotta dalla CEC.

Può essere particolarmente grave se insorge dopo pneumonectomia.

Tutte le procedure che mirino a ridurre il tempo di CEC (normotermia) e favoriscano l'emoconcentrazione (trasfusione di emazie concentrate, albumina come priming della CEC) laddove possibili, riducono considerevolmente il rischio di sindrome da distress respiratorio.



LA CIRCOLAZIONE EXTRA CORPOREA NEL PAZIENTE NEOPLASTICO

Opzioni possibili per limitare gli effetti collaterali della CEC nelle resezioni oncologiche:

- 1) Uso di shunt passivi
- 1) ECMO femoro – femorale eparinizzato per la resezione d'aorta discendente che elimini la necessità di completa anticoagulazione durante la resezione e quindi la necessità del ritorno di sangue aspirato nel circuito



CONSIDERAZIONI CONCLUSIVE

La resezione del cuore e dei grossi vasi per infiltrazione da neoplasie primitive del polmone e del mediastino richiede una approfondita valutazione del rapporto rischio/benificio ed un approccio multidisciplinare che si prefiggano non solo la riuscita tecnica del gesto chirurgico ma il raggiungimento di un vantaggio per il paziente in termini di qualità oltre che quantità di vita.

Il numero globalmente esiguo di resezioni estese – limitato a poche serie in pochissimi centri di riferimento mondiali – non consente – ad oggi, di trarre conclusioni statisticamente definitive sull'efficacia reale della procedura





Grazie

Dott. Francesco Petrella, MD, PhD
Divisione di Chirurgia Toracica
Istituto Europeo di Oncologia

Dipartimento di Oncologia ed Emato-oncologia
Università degli Studi di Milano

francesco.petrella@ieo.it
francesco.petrella@unimi.it